

บทที่ 2

ทฤษฎีเบื้องต้น

2.1 พลังงานแสงอาทิตย์

พลังงานแสงอาทิตย์เป็นแหล่งพลังงานที่มีอยู่ไม่จำกัด ซึ่งมีศักยภาพตอบสนองความต้องการของพลังงานในอนาคตสำหรับประชากรโลกและมีผลกระทบต่อสิ่งแวดล้อมน้อยมาก ซึ่งโลกได้รับพลังงานแสงอาทิตย์ในรูปคลื่นแม่เหล็กไฟฟ้าช่วงความยาวคลื่น 0.2 – 3.0 ไมครอน และประกอบไปด้วยช่วงความยาวคลื่นแบบ Visible light, Infrared, Ultraviolet เป็นต้น โดยรังสีที่ผลกระทบบนพื้นฐานแบ่งได้เป็น 3 ประเภท

2.1.1 รังสีอาทิตย์ตรง (Direct or Beam Radiation)

รังสีอาทิตย์ตรง คือ รังสีที่แผ่มาจากดวงอาทิตย์มีทิศทางแน่นอนโดยไม่ถูกหักเหจากสิ่งกีดขวางอื่น ๆ เช่น กลุ่มเมฆ ฝุ่นละออง เป็นต้น รังสีตรงนี้จะมีค่ามากในวันที่มีสภาพห้องฟ้าโปร่ง

2.1.2 รังสีกระจาย (Diffuse Radiation)

รังสีกระจาย คือ รังสีที่ได้รับจากการหักเห การสะท้อน และการกระเจิงจากสิ่งต่างๆ เช่น เมฆ อาคาร ฝุ่นละออง โนเลกูลอากาศ เป็นต้น ค่ารังสีกระจายในฤดูร้อนอาจสูงถึง 400 W/m^2

2.1.3 รังสีอาทิตย์รวม (Total or Global Radiation)

รังสีอาทิตย์รวม คือ ค่ารังสีที่เกิดจากผลรวมของรังสีตรงและรังสีกระจาย

2.2 เซลล์แสงอาทิตย์

2.2.1 หลักการทำงานของเซลล์แสงอาทิตย์

เซลล์แสงอาทิตย์สามารถเปลี่ยนพลังงานแสงอาทิตย์เป็นพลังงานไฟฟ้าได้โดยผ่านสารกึ่งตัวนำ โครงสร้างหลักของเซลล์แสงอาทิตย์ได้แก่ n-type silicon ซึ่งเป็นชั้นของซิลิโคนที่ผสมด้วยสารฟอสฟอรัส มีคุณสมบัติให้อิเล็กตรอนเมื่อรับพลังงานแสงอาทิตย์ ส่วน p-type silicon คือสารกึ่งตัวนำที่ได้การผสมด้วยสารไบรอน ซึ่งด้านหน้าของ n-type silicon จะมีແฉนໂລະที่เรียกว่า Front Electrode มีหน้าที่เป็นตัวรับอิเล็กตรอนด้านหลังของ p-type ซิลิโคนจะมีແฉນໂລະเรียกว่า Back Electrode ทำหน้าที่เป็นตัวรวบรวมໂລະเมื่อไฟฟ้า (จากแสงอาทิตย์) ซึ่งมีพลังงานเพียงพอตอกกระหบจะถ่ายเทพลังงานให้กับอิเล็กตรอนและໂລະเมื่อพลังสูงพอทั้งอิเล็กตรอนและໂລະจะวิ่งเข้าหากันเพื่อจับคู่กัน อิเล็กตรอนจะวิ่งไปยังชั้น n-type และໂລະจะวิ่งไปยังชั้น p-type อิเล็กตรอนวิ่งไป

รวมกันที่ Front Electrode และ โอลวิ่งไปรวมกันที่ Back Electrode เมื่อมีการต่อวงจรไฟฟ้าจาก Front Electrode และ Back Electrode ให้ครบวงจร ก็จะเกิดกระแสไฟฟ้าขึ้น เนื่องจากทั้งอิเล็กตรอน และ โอลจะวิ่งเพื่อจับคู่กัน

ค่าแรงดันไฟฟ้าที่ต่อกันร่อง p-n junction ในแต่ละเซลล์ของ single-crystal silicon จะมีค่าประมาณ 0.5 V โดยปริมาณกระแสไฟฟ้าจะขึ้นกับความเข้มรังสีแสงอาทิตย์ที่ความเข้มรังสีประมาณ 1,000 W/m² จะได้กระแสประมาณ 100 mA/cm² ของพื้นที่ผิวเซลล์ที่มีขนาดเด่นผ่านศูนย์กลาง 10 เซนติเมตร

2.2.2 ชนิดของแผงเซลล์แสงอาทิตย์

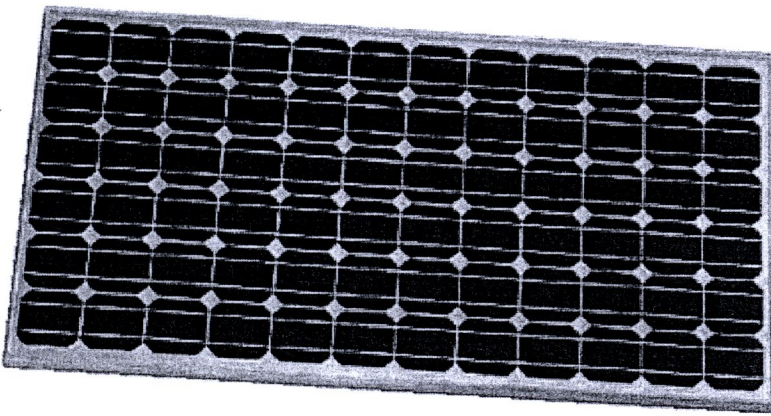
2.2.2.1 เซลล์แสงอาทิตย์ที่ผลิตจากซิลิคอน ซิลิคอนเป็นธาตุที่มีมากที่สุดชนิดหนึ่งของโลกซึ่งเกิดมาจากการถลุงของหินและทราบบันมากในอุตสาหกรรมอิเล็กทรอนิกส์

ก. ซิลิคอนผลึกเดียว (Monocrystalline Silicon Cell) มีลักษณะเป็นแผ่นแบ่งและบางมาก ซึ่งประสิทธิภาพของเซลล์จะมีค่าประมาณ 15-24% ส่วนประสิทธิภาพไมคูลจะมีค่าเพียง 10-14%

ข. ซิลิคอนผลึกรวม (Polycrystalline Silicon Cell) คือก้อนซิลิคอนที่เกิดจากการรวมตัวกันของชิ้นเล็กๆ (ขนาดระดับ ไมโครเมตร - มิลลิเมตร) ของผลึกเดียวของซิลิคอนและเซลล์แสงอาทิตย์แบบผลึกโลหะได้ถูกพัฒนาขึ้น เพื่อแก้ปัญหาต้นทุนสูงของแบบผลึกเดียวซิลิคอนแบบผลึกโลหะหรือโลหะซิลิคอนโดยประสิทธิภาพของเซลล์มีค่าประมาณ 10-17% และประสิทธิภาพของไมคูลอยู่ที่ 9-12%

ค. ไม่เป็นผลึกหรืออะมอร์ฟัส (Amorphous Silicon Cell) แผงเซลล์แสงอาทิตย์ชนิดนี้สามารถพอได้ทั่วไปในอุปกรณ์ที่กินไฟฟ้าน้อย เช่น เครื่องคอมพิวเตอร์ พิมพ์ โทรศัพท์มือถือ เป็นต้น ซึ่งมีลักษณะบางเป็นพิเศษประมาณ 0.5 ไมครอนเป็นเทกโนโลยีที่ใช้ซิลิคอนเช่นกันแต่จะไม่อุ้ยในรูปของผลึกโดยประสิทธิภาพของเซลล์มีค่าประมาณ 8-13% และประสิทธิภาพไมคูลมีค่าประมาณ 6-9%

2.2.2.2 เซลล์แสงอาทิตย์ไม่ได้ผลิตจากซิลิคอน นอกเหนือจากซิลิคอนแล้วยังมีสารตัวอื่นๆ ที่สามารถนำมาใช้งานได้ เช่น แกลเลียมอาร์เซไนด์ (GaAs) แคดเมียม เทลเลอร์ด (CdTe) และคอปเปอร์ อินเดียม ไคเซเล์ไนด์ (CuInSe₂) เป็นต้น มีทั้งชนิดผลึกเดียว (Single Crystalline) และผลึกรวม (Polycrystalline) เซลล์แสงอาทิตย์ที่ทำจากแกลเลียมอาร์เซไนด์จะให้ประสิทธิภาพสูงถึง 20-25%



รูปที่ 2.1 แผงเซลล์แสงอาทิตย์ที่ผลิตจากซิลิกอน

(http://www.sharpthai.co.th/solar_cell/solar_index.aspx)

2.2.3 การหาประสิทธิภาพของแผงเซลล์แสงอาทิตย์ สามารถหาได้จาก

$$\text{ประสิทธิภาพ}(\eta) = \frac{\text{พลังงานที่แผงเซลล์แสงอาทิตย์ผลิตออกมานะ}}{\text{พลังงานแสงอาทิตย์ที่ตกกระทบบนแผงทั้งหมด}}$$

$$= \frac{W}{Q} = \frac{IV \times 100\%}{GA}$$

โดยที่ W คือ พลังงานที่ได้ออกมานาจาก PV Panel = $I \times V$, Watt

I คือ กระแสที่ได้ออกมา, Ampere

V คือ ความต่างศักย์ของไฟฟ้า, Volt

Q คือ พลังงานแสงอาทิตย์ที่ตกกระทบแผง PV Panel = $G \times A$, Watt

G คือ ค่าความเข้มของแสงอาทิตย์, W/m^2

A คือ พื้นที่ของแผงเซลล์แสงอาทิตย์, m^2

2.2.4 ปัจจัยที่มีผลต่อการผลิตกระแสไฟฟ้าของเซลล์แสงอาทิตย์

2.2.4.1 การรับแสง

การติดตั้งเซลล์แสงอาทิตย์ไม่ควรมีสิ่งบังรังสีแสงอาทิตย์ในช่วงเวลา 9:00 – 17:00 น. สำหรับพื้นที่ที่เขต้อนดวงอาทิตย์จะเคลื่อนไปทางทิศเหนือมากที่สุดในเดือนมิถุนายน และจะเคลื่อนที่ไปทางทิศใต้มากที่สุดในเดือนธันวาคม สำหรับสถานที่ติดตั้งที่อยู่ใต้เส้นศูนย์สูตรควรหันแผงไปทางทิศเหนือ ส่วนสถานที่อยู่เหนือเส้นศูนย์สูตรควรหันแผงไปทางทิศใต้ สำหรับพื้นที่ที่ทดสอบในจังหวัดเชียงใหม่ควรวางอีียงทำมุม 15° กับแนวระดับ

2.2.4.2 ความเข้มรังสีอาทิตย์

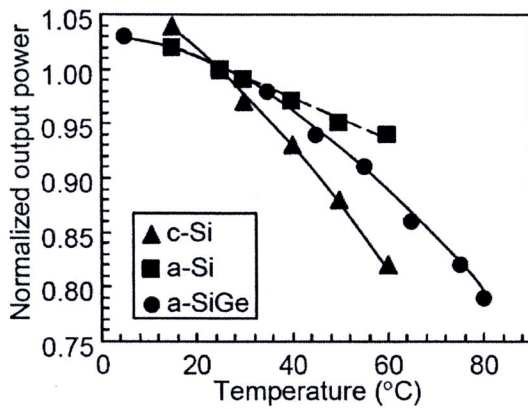
เนื่องจากเซลล์แสงอาทิตย์จะทำงานต้องมีแสงมากครบทุกประทานเพื่อให้อิเล็กตรอนที่อยู่ภายในสารกึ่งตัวนำได้รับพลังงานสูงพอที่จะทำให้เกิดอิเล็กตรอนอิสระและโอลจีน ดังนั้นถ้าแสงที่ตกกระทบสารกึ่งตัวนำมีค่าความเข้มสูงมากหรือกล่าวอีกนัยคือมีปริมาณความหนาแน่นของโฟตอนสูงก็จะทำให้เกิดคุณภาพอะอิเล็กตรอนอิสระกับโอลเป็นจำนวนมากผลที่ได้ก็คือจะทำให้ปริมาณกระแสไฟฟ้าเนื่องจากแสงตกกระทบมีค่าสูงขึ้นด้วยในขณะที่แรงดันไฟฟ้าเทบจะไม่เปรียบตามความเข้มรังสีมากนักความเข้มรังสีที่ใช้วัดเป็นมาตรฐานคือความเข้มรังสีที่วัดบนพื้นโลกในสภาพอากาศปลดปล่อยรังสีจากดวงอาทิตย์ที่ระยะห่างจากโลก 1 ล้านกิโลเมตร ที่ระดับน้ำทะเลปานกลางในสภาพที่รังสีอาทิตย์ตั้งฉากกับพื้นโลก

2.2.4.3 อุณหภูมิเซลล์แสงอาทิตย์

ในการนำเซลล์แสงอาทิตย์แบบพลีกไปใช้งานจริงตัวเซลล์แสงอาทิตย์จะได้รับความร้อนจากรังสีอาทิตย์ด้วยดังนี้เมื่ออุณหภูมิเปลี่ยนแปลงไปจะทำให้คุณสมบัติทางไฟฟ้าของเซลล์แสงอาทิตย์เปลี่ยนไปด้วย รูปที่ 2.2 แสดงถึงอุณหภูมิในการทำงานของแพงโซล่าเซลล์ชนิดต่างๆ ที่มีผลต่อการสร้างพลังงานไฟฟ้าอุบัติ โดยอุณหภูมิที่สูงขึ้นจะทำให้การสร้างพลังงานลดลง ในขณะที่แรงดันไฟฟ้าจะมีค่าลดลงเมื่ออุณหภูมิสูงขึ้นโดยเฉลี่ยแล้วอุณหภูมิที่มีค่าสูงขึ้นทุก 1°C จะทำให้แรงดันไฟฟ้าลดลง 0.5 % และในกรณีของแพงเซลล์แสงอาทิตย์มาตรฐานกำหนดไว้ว่าแพงเซลล์แสงอาทิตย์จะมีแรงดันไฟฟ้าที่วงจรเปิด (Open Circuit Voltage, V_{oc}) ที่ 21 V ณ อุณหภูมิ 25°C จะมีความหมายว่าแรงดันไฟฟ้าที่จะได้จากแพงเซลล์ เมื่อยังไม่ได้ต่อ กับอุปกรณ์ไฟฟ้า ณ อุณหภูมิ 25°C จะมีค่าเท่ากับ 21 V ถ้าอุณหภูมิสูงกว่า 25°C อาทิ อุณหภูมิ 30°C จะทำให้แรงดันไฟฟ้าของแพงเซลล์ลดลง 2.5% นั่นคือแรงดันของแพงเซลล์ที่ V_{oc} จะลดลง 0.525 V ซึ่งจะทำให้แรงดันมีค่าลดลงเหลือเพียง 20.475 V เราอาจสรุปได้ว่าเมื่ออุณหภูมิสูงขึ้น แรงดันไฟฟ้าก็จะลดลง ซึ่งจะมีผลทำให้กำลังไฟฟ้าสูงสุด และประสิทธิภาพ ของแพงเซลล์แสงอาทิตย์มีค่าลดลงด้วย

2.2.4.4 พื้นที่ของแพง

เมื่อมีการติดตั้งแพงที่เซลล์แสงอาทิตย์มีขนาดใหญ่ก็มีพื้นที่รับรังสีของแพงอาทิตย์ได้นำเข้าส่งผลให้ได้พลังงานไฟฟ้าที่สูงขึ้น



รูปที่ 2.2 ผลของอุณหภูมิทำงานกับกำลังข้อกสำหรับแพงโซล่าเซลล์ชนิดต่าง ๆ

(Masaki *et al.*, 2005)

2.2.4.5 ความไม่ปร่งของบรรยายกาศ

เนื่องจากในชั้นบรรยายกาศประกอบไปด้วย ผู้นละอง เมฆ ไอน้ำและก๊าซมากหมาย ชี้งมีส่วนในการระบาย, สะท้อน และการคัดซับรังสีจากดวงอาทิตย์ ในบริเวณเมฆหนาทึบหรือ อากาศที่มีมลภาวะจะได้รับพลังงานแสงอาทิตย์โดยตรงน้อย

2.2.4.6 จำนวนเซลล์แสงอาทิตย์

โดยปกติเซลล์แสงอาทิตย์ที่ผลิตขึ้นจากซิลิโคนจะมีแรงดันไฟฟ้าต่อเซลล์ประมาณ 0.5 V ในการนำเซลล์ไปใช้งานจะต้องนำเซลล์มาต่อ กันในลักษณะอนุกรมเพื่อเพิ่มแรงดันไฟฟ้า วงจรเปิดให้สูงขึ้น โดยจะมีผลต่อกระแสไฟฟ้าลดลงของเซลล์น้อยมากในการต่อการทางไฟฟ้า เข้ากับเซลล์แสงอาทิตย์แพงเซลล์แสงอาทิตย์ที่มีจำนวนเซลล์มากกว่าจะจ่ายกระแสไฟฟ้าให้กับ การทางไฟฟ้าได้สูงกว่าแพงเซลล์แสงอาทิตย์ที่มีจำนวนเซลล์น้อยกว่า

2.3 ท่อเทอร์โมไชฟอน

2.3.1 หลักการทำงานท่อเทอร์โมไชฟอน

ลักษณะโครงสร้างของเทอร์โมไชฟอนจะเป็นท่อปลายปิด ซึ่งภายในทำให้เป็น ถุญญาศ แและบรรจุสารทำงานเข้าไป ตัวท่อแบ่งออกเป็น 3 ส่วนตามลักษณะการแลกเปลี่ยนความร้อน ได้แก่ ส่วนทำระเหย (Evaporator section) คือ ส่วนที่ได้รับความร้อนจากแหล่งความร้อน อุณหภูมิสูง ส่วนควบแน่น (Condenser section) คือ ส่วนที่ระบายความร้อนออกสู่แหล่งความร้อน อุณหภูมิต่ำ และส่วนกันความร้อน (Adiabatic section) คือส่วนที่ไม่มีการแลกเปลี่ยนความร้อน ระหว่างท่อความร้อนและสิ่งแวดล้อม หลักการทำงานของเทอร์โมไชฟอน คือ เมื่อสารทำงาน

(Working fluid) ซึ่งอยู่ในสถานะของเหลวที่อยู่ในส่วนทำระเหยได้รับความร้อนจากสิ่งแวดล้อม จะเกิดการระเหยกลายเป็นไออกโดยอาศัยความร้อนแห่งของการถ่ายเท่านั้น ไออกที่เกิดขึ้นจะถูกนำไปสู่ส่วนความแน่นและระบบความร้อนออกสู่สิ่งแวดล้อมโดยอาศัยความร้อนแห่งของการความแน่น ทำให้สารทำงานความแน่นถ่ายเทานี้เป็นของเหลว ส่วนของเหลวความแน่นจะไหลกลับลงมาสู่ส่วนทำระเหย โดยอาศัยแรงโน้มถ่วงของโลก ซึ่งเป็นการทำงานครบวัฏจักร

2.3.2 การคำนวณค่าการส่งถ่ายความร้อน

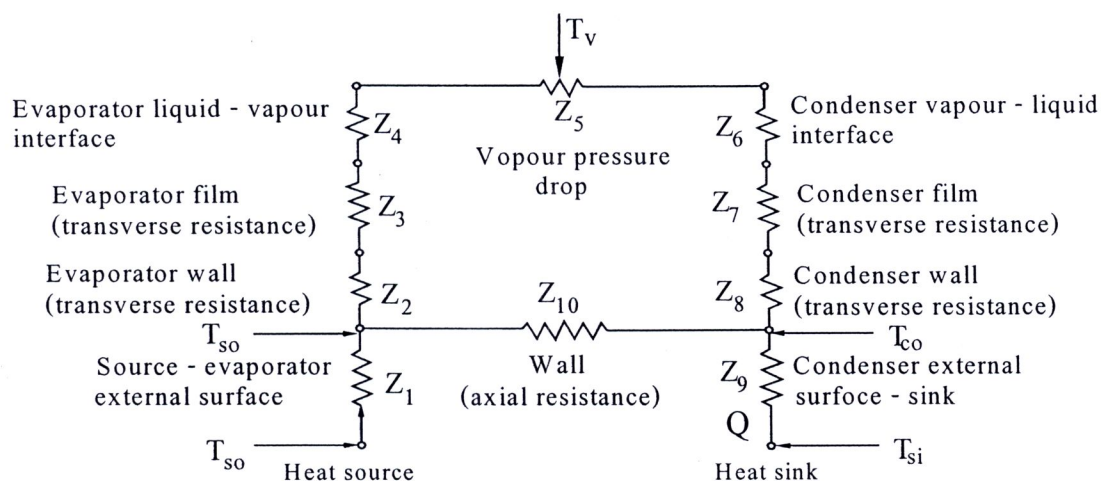
การส่งถ่ายความร้อนของท่อเทอร์โมไฟฟ่อนหาได้จากหลักการความด้านทานทางความร้อน ดังนี้

$$Q = (\Delta T) / Z$$

เมื่อ Q คือ ค่าการส่งถ่ายความร้อน

ΔT คือ ผลต่างระหว่างอุณหภูมิของแหล่งความร้อนกับส่วนระบบความร้อน

Z คือ ความด้านทานรวมของท่อเทอร์โมไฟฟ่อนเขียนในรูปของตัวความด้านทาน Z_1 ถึง Z_{10} แสดงในรูปที่ 2.3 และหาค่าได้ดังนี้



รูปที่ 2.3 ความด้านทานความร้อนรวม (Engineering Sciences Data Unit, 1981)

Z_1 และ Z_9 คือ ค่าความต้านทานความร้อนระหว่างแหล่งความร้อนกับผิวท่อค่านอกของส่วนทำร้าย และความต้านทานความร้อนระหว่างรับความร้อนกับผิวท่อค่านอกของส่วนควบแน่น ตามลำดับ หาได้จาก

$$Z_1 = 1 / (h_{eo} \times A_{eo})$$

$$Z_9 = 1 / (h_{co} \times A_{co})$$

Z_2 และ Z_8 คือ ค่าความต้านทานความร้อนของผังท่อในส่วนของทำร้ายและส่วนควบแน่น ตามลำดับ หาได้จาก

$$Z_2 = \ln(Do/D) / (2\pi l_e k_x)$$

$$Z_8 = \ln(Do/D) / (2\pi l_c k_x)$$

Z_3 คือ ค่าความต้านทานความร้อนภายในท่อเทอร์โมไชฟอนเนื่องจากการเดือด แยกเป็นความต้านทานความร้อนในพิล์ม (Z_{3f}) และในแอ่ง (Z_{3p}) หากค่าได้จาก

$$Z_{3f} = (CQ^{1/3})/D^{4/3} g^{1/3} l_e \Phi_2^{4/3}$$

และ $Z_{3p} = \frac{1}{\Phi_3 g^{0.2} Q^{0.4} (\pi D l_e)^{0.6}}$

เมื่อ $\Phi_3 = \frac{\rho_l^{0.65} \lambda_l^{0.3} c_{pl}^{0.7}}{\rho_v^{0.25} L^{0.4} \mu_l^{0.1}} \left(\frac{P_v}{P_l}\right)^{0.23}$

ถ้า $Z_{3p} > Z_{3f}$ แล้ว $Z_3 = Z_{3p}$ มิใช่นั้นต้องทำการหาค่าเฉลี่ย Z_3 จาก

$$Z_3 = Z_{3p} F + Z_{3f} (1-F)$$

Z_7 คือ ค่าความต้านทานความร้อนภายในท่อเทอร์โมไชฟอนเนื่องจากการควบแน่นของสารทำงานภายในท่อเทอร์โมไชฟอน

$$Z_7 = \frac{CQ^{1/3}}{D^{4/3} g^{1/3} l_c \Phi_2^{4/3}}$$

โดยที่ $C = 0.235$

Φ_2 คือ ค่าของคุณสมบัติของท่อความร้อน (Thermophysical properties)

Z_4 และ Z_6 คือ ความต้านทานที่เกิดขึ้นระหว่างหน้าสัมผัสໄอและของเหลวในส่วนของส่วนทำระเหยและส่วนควบแน่น ตามลำดับ ซึ่งมีค่าน้อยมากจนสามารถ忽略ทิ้งได้

Z_5 คือ ค่าความต้านทานความร้อนอันเนื่องมาจากความดันໄอตกรรอม เกิดจากการไอลของໄอจากส่วนทำระเหยไปยังส่วนควบแน่น ซึ่งมีค่าน้อยมากเมื่อเทียบกับ Z_3 และ Z_7 จนสามารถ忽略ทิ้งได้

Z_{10} คือ ความต้านทานความร้อนเนื่องจากการนำความร้อนตามแนวแกนของห่อเทอร์โนโทรศัพท์ หาค่าได้จาก

$$Z_{10} = (0.5 l_e + l_a + 0.5 l_c) / (A_x k_x)$$

เมื่อ A_x คือ พื้นที่หน้าตัดของห่อบรรจุ

k_x คือ ค่าการนำความร้อนของวัสดุที่ใช้ทำห่อเทอร์โนโทรศัพท์

อย่างไรก็ตาม Z_{10} สามารถ忽略ได้ ถ้ามีค่าน้อยมาก ตรวจสอบได้จากเงื่อนไข

$$Z_{10} / (Z_2 + Z_3 + Z_5 + Z_7 + Z_8) > 20$$

ถ้าเป็นไปตามสมการข้างต้น ค่าความต้านทานความร้อนรวมจะเป็น

$$Z = Z_1 + Z_2 + Z_3 + Z_5 + Z_7 + Z_8 + Z_9$$

ในทางตรงกันข้ามถ้าไม่เป็นไปตามสมการข้างต้น ค่าความต้านทานความร้อนรวมจะเป็น

$$Z = [(Z_1 + Z_3 + Z_5 + Z_7 + Z_8)^{-1} + (1/Z_{10})]^{-1} + Z_2 + Z_4$$

2.3.3 ค่าความร้อนสูงสุดในห่อเทอร์โนโทรศัพท์

นอกจากการคำนวณหาการส่งถ่ายความร้อนของห่อเทอร์โนโทรศัพท์แล้ว จำเป็นต้องตรวจสอบค่าการส่งถ่ายความร้อนสูงสุดด้วย โดยห่อเทอร์โนโทรศัพท์สามารถทำงานได้ถ้าค่าการส่งถ่ายความร้อนที่คำนวณได้ก่อนหน้านี้ต้องมากกว่าค่าการส่งถ่ายความร้อนสูงสุดในทุกรูป ซึ่งค่าการส่งถ่ายความร้อนสูงสุดในห่อเทอร์โนโทรศัพท์ ประกอบด้วย

2.3.3.1 ปั๊ดจำกัดความดันໄอ

ขณะที่ห่อความร้อนทำงานต่ำกว่าความดันบรรยายกาศ ทำให้เกิดการแตกของความดันໄอซึ่งอาจมีผลต่อกำลังดันที่ทำระเหย ทำให้ห่อเทอร์โนโทรศัพท์ไม่สามารถส่งถ่ายความร้อนได้

2.3.3.2 ปัจจัยความเร็วเสียง

ปัจจัยนี้เกิดขึ้นในกรณีที่ไอซิ่งไอลอห์จากส่วนทำระเหยมีความร้อนสูงมากจนเกินความเร็วเสียง กรณีที่อาจเกิดปัจจัยนี้แบ่งได้เป็น 2 กรณี คือกรณีที่ด้านหนึ่งของท่อเย็นมากและอีกด้านหนึ่งของท่อร้อนมาก ค่าการส่งถ่ายความร้อนสูงสุดได้จาก

$$\frac{Q_{max}}{AL} = 0.5 (\rho_v P_v)^{0.5}$$

2.3.3.3 ปัจจัยการแห้ง

ปัจจัยการแห้ง คือ ปราภูภารณ์ที่สารทำงานไม่เคลือบผิวท่อด้านในในบริเวณส่วนทำระเหย ส่งผลให้เกิดจุดแห้งขึ้นในส่วนของทำระเหย ซึ่งอาจเกิดจากการเติมสารทำงานน้อยเกินไป

2.3.3.4 ปัจจัยการเดือด

ปัจจัยนี้เกิดขึ้นในกรณีที่ฟลักซ์การถ่ายเทความร้อนสูงมากจนทำให้เกิดพิล์ม ไอเคลือบผิวท่อด้านในของส่วนทำระเหยทำให้การถ่ายเทความร้อนลดลงมากจึงเกิดจุดแห้ง (Dry spot) และแอบการแห้ง (Dry patch)

2.3.4 การประยุกต์ใช้งานของท่อเทอร์โมไฟฟ่อน

วิจิตร วุฒิจำงค์ (2542) ออกแบบและสร้างเครื่องอุ่นอากาศแบบท่อความร้อนสำหรับหม้อไอน้ำสำเร็จรูป ขนาดกำลังผลิตไอน้ำไม่เกิน 1 ตันต่อชั่วโมง ซึ่งอัตราผลิตไอน้ำเพื่อใช้งาน 0.166 ตันต่อชั่วโมงที่ความดันสูงสุด 150 ปอนด์ต่อตารางนิว ผลการทดลองดังกล่าวได้เครื่องแลกเปลี่ยนความร้อนที่สามารถดึงความร้อนจากไอเสียของหม้อไอน้ำมาให้กับอากาศก่อนสันดาป ค่าความร้อนที่ดึงกลับ 12.5 kW ค่าประสิทธิผลด้านของไอลอุณหภูมิต่ำเท่ากับ 0.447 ที่อุณหภูมิไอเสีย 231 °C อุณหภูมิอากาศ 30 °C อัตราการไอลอห์ของไอเสียและอากาศ 692.72 m³/hr สามารถลดอุณหภูมิไอเสียให้เหลือเพียง 141.2 °C และเพิ่มอุณหภูมิของอากาศได้เป็น 85.4 °C และค่าทางเศรษฐศาสตร์นั้นได้ระยะเวลาคืนทุนเท่ากับ 1,012 วัน

พลเดช ทองบุนคำ (2543) ออกแบบสร้างและทดสอบอิโคโน่โนเซอร์แบบท่อความร้อนสำหรับหม้อไอน้ำสำเร็จรูป ขนาดกำลังผลิตไอน้ำไม่เกิน 1 ตันต่อชั่วโมงซึ่งอัตราผลิตไอน้ำเพื่อใช้งาน 0.166 ตันต่อชั่วโมงที่ความดันสูงสุด 150 ปอนด์ต่อตารางนิว จากผลการทดลองดังกล่าว ได้เครื่องแลกเปลี่ยนความร้อนที่สามารถดึงความร้อนจากไอเสียของหม้อไอน้ำมาให้กับน้ำก่อนเข้าหม้อไอน้ำ ค่าความร้อนที่ดึงกลับ 8.75 kW ค่าประสิทธิผลด้านของไอลอุณหภูมิต่ำเท่ากับ 0.330 ที่อุณหภูมิไอเสีย 231 °C อุณหภูมิของน้ำ 40 °C อัตราการไอลอห์ของไอเสีย 692.72 m³/hr และอัตราการ

ไหลของน้ำ 2.6 l/min ทำให้อุณหภูมิไอเสียเหลือเพียง 170.7°C และเพิ่มอุณหภูมิของน้ำได้เป็น 88.31°C และค่าทางเศรษฐศาสตร์นั้นได้ระยะเวลาคืนทุนเท่ากับ 981 วัน

วีระ พาเพื่องวิทยากร (2547) ประยุกต์เทอร์โนไซฟอนแบบวงรอบเป็นระบบประยัดค พลังงานสำหรับเครื่องอบแห้งชนิดปั๊มความร้อน โดยการออกแบบและพัฒนาแบบจำลองทาง คณิตศาสตร์แบบจำลองทางคณิตศาสตร์ของเครื่องอบแห้งชนิดปั๊มความร้อนแบบไม่มีและมีเทอร์ โนไซฟอนแบบวงรอบ เป็นระบบประยัดคพลังงานถูกนำมาพิจารณา ชุดทดลองถูกสร้างขึ้นเพื่อ ทำการเปรียบเทียบผลและยืนยันความถูกต้องของแบบจำลอง การวิเคราะห์ทางเศรษฐศาสตร์ของ เทอร์โนไซฟอนแบบวงรอบสำหรับใช้สำหรับเครื่องอบแห้งชนิดปั๊มความร้อนถูกทำการวิเคราะห์ ด้วย แบบจำลองทางคณิตศาสตร์ที่ถูกพัฒนา รวมทั้งแบบจำลองของเครื่องอบแห้งชนิดปั๊มความ ร้อนที่ใช้ทำนายถักยนต์และการถ่ายเทความร้อนของระบบ ปริมาณคำไาย คือ 120 กิโลกรัม เจือน ไข่ที่เหมาะสม และข้อกำหนดของเครื่องอบแห้งชนิดปั๊มความร้อนคืออัตราการไหลดอากาศคือ 450 ลูกบาศก์เมตรต่อชั่วโมง ขนาดของส่วนควบแน่นคือ 8 กิโลวัตต์ ขนาดของส่วนท่อระบายนคือ 5.25 กิโลวัตต์ และขนาดของเครื่องอัดไออกเท่ากับ 2.75 กิโลวัตต์ พนว่าผลของการทดลองมีค่า ใกล้เคียงสอดคล้องกับผลของแบบจำลอง และเทอร์โนไซฟอนแบบวงรอบสามารถลดการใช้ พลังงานจำเพาะได้จาก 12 – 20% ระยะเวลาในการคืนทุน 3 ปี

Kim et al., 1999 ศึกษาค่าความเร็วของพัดลมระบายความร้อนต่อความต้านทานความ ร้อนของท่อความร้อนขนาดเส้นผ่านศูนย์กลางภายนอก 3 mm และ 4 mm มีความยาวท่อ 150mm และ 300 mm ตามลำดับ ใช้วัสดุพรูนเป็นแบบ Woven-wire และใช้น้ำเป็นสารทำงาน เข้าพบว่าเมื่อ เพิ่มความเร็วของพัดลมจาก 1-3 m/s ค่าความต้านทานความร้อนจะลดลงจาก $1.8-1.2^{\circ}\text{C/W}$ และ แนวโน้มนี้จะเหมือนกันทุก ๆ ช่วงของการความร้อน (Kim et al., 1999)

Soylemez (2003) นำเสนอหลักการวิเคราะห์ทางเศรษฐศาสตร์วิศวกรรม สำหรับการ ตัดสินสร้างเครื่องแยกเปลี่ยนความร้อน ประกอบด้วย ต้นทุนในการก่อสร้าง ค่าบำรุงรักษาและการ ทำงาน อัตราดอกเบี้ย ผลตอบแทนที่ได้ในรูปของเชื้อเพลิง วิเคราะห์หาความคุ้มค่าที่เกิดจากการ ลงทุนและค่าใช้จ่ายที่ต่ำที่สุด แสดงความสัมพันธ์ระหว่างค่าประสิทธิผลกับมูลค่าการประหยัดสุทธิ และพื้นที่เครื่องแยกเปลี่ยนความร้อนที่เหมาะสมที่สุดในการลงทุน



2.4 ท่อความร้อนแบบสั้น

2.4.1 หลักการท่อไปของท่อความร้อนแบบสั้น

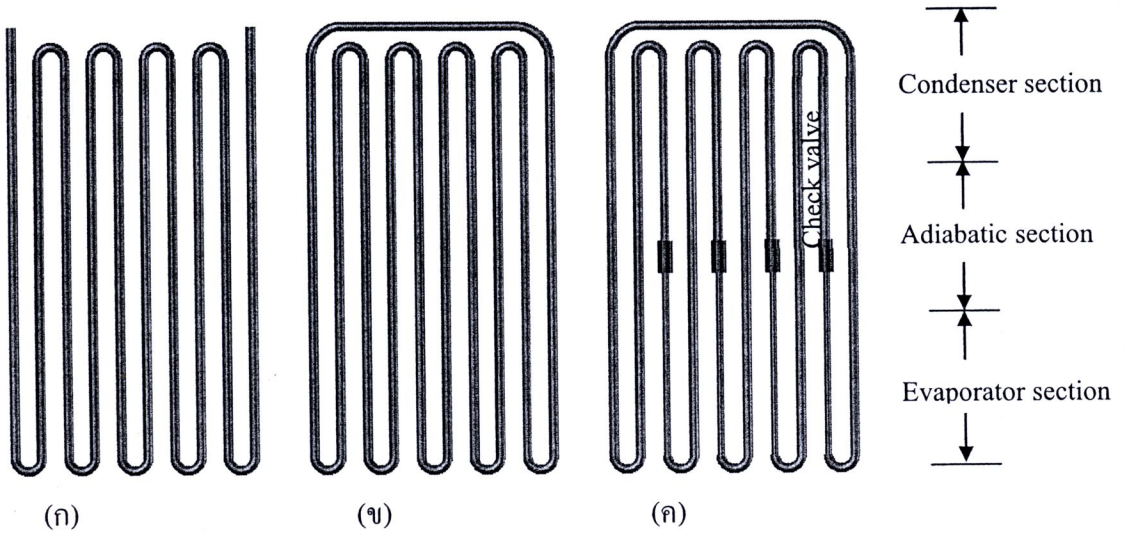
ท่อความร้อนแบบสั้นเริ่มมีการศึกษาครั้งแรกในช่วงปี ก.ศ. 1990 โดย Akachi ได้จดสิทธิบัตรระหว่างประเทศเป็นท่อความร้อนชนิดนี้ขึ้น ท่อความร้อนแบบสั้นสร้างจากท่อปีลาร์ที่มีขนาดเส้นผ่านศูนย์กลางเล็กกว่าเส้นผ่านศูนย์กลางวิกฤติ นำมาขัดกลับไปกลับมาดังแสดงในรูปที่ 1 ท่อความร้อนแบบสั้นจัดเป็นอุปกรณ์ที่สามารถแยกเปลี่ยนความร้อนได้โดยไม่ต้องอาศัยพลังงานจากภายนอก สามารถแบ่งโครงสร้างออกเป็น 3 ส่วน คือ ส่วนทำระเหย (Evaporator section) ส่วนกันความร้อน (Adiabatic section) และส่วนความแน่น (Condenser section) เมื่อเติมสารทำงานเข้าไปในท่อความร้อนแบบสั้นที่มีสภาพเป็นสุญญากาศ สารทำงานภายในท่อจะจัดเรียงเป็นฟองไอ (Vapor bubbles) และแท่งของเหลว (Liquid plugs) สลับกันอยู่ภายในท่อตามแนวยาวของท่อ เมื่อปลายโถงเลี้ยวด้านหนึ่งได้รับความร้อน ก้อนของเหลวและฟองไอจะเกิดการเคลื่อนที่ตามแนวแกนด้วยการกระตุ้นการเคลื่อนที่ด้วยตัวมันเอง โดยมีสาเหตุมาจากการขับตัวของแรงดันฟองไอที่รุนแรงและรวดเร็ว เนื่องจากการเดือดแบบฟองและการระเหยของฟิล์มของเหลว แล้วนำความร้อนไปถ่ายเทย়ังปลายโถงเลี้ยวอีกด้านหนึ่งที่มีอุณหภูมิต่ำกว่า ทำให้ฟองไอเกิดการควบแน่นแล้วไหลกลับส่วนทำระเหย และทำงานเป็นวัฏจักรดังกล่าวต่อไป

ท่อความร้อนแบบสั้นสามารถแบ่งออกเป็น 3 แบบ ได้ตามลักษณะรูปร่างดังนี้

- ท่อความร้อนแบบสั้นปลายปิด (Closed-end pulsating heat pipe) สร้างจากท่อปีลาร์ที่มีขนาดเส้นผ่านศูนย์กลางเล็กๆ นำมาขัดไปมาแล้วเชื่อมปิดปลายทั้งสองข้างแยกออกจากกัน ดัง รูปที่ 2.4 (ก) ดังนั้นในการณ์นี้การถ่ายเทความร้อนจะเกิดขึ้นจากการเดือดแบบฟอง (Nucleate boiling) ของสารทำงาน มีพิธีทางการเคลื่อนที่ตามแนวท่อ

- ท่อความร้อนแบบสั้นวงรอบ (Closed-loop pulsating heat pipe) สร้างจากท่อปีลาร์ที่มีขนาดเส้นผ่านศูนย์กลางเล็กๆ นำมาขัดไปมาแล้วเชื่อมปลายทั้งสองข้างเข้าด้วยกันให้มีรูปร่างแบบวงรอบปิด เพื่อช่วยลดปัญหาการขัดขวางการเคลื่อนที่บริเวณปลายปิด ดังรูปที่ 2.4 (ข) ดังนั้นในการณ์นี้การถ่ายเทความร้อนจะสูงกว่ากรณีแรกและเกิดจากการเคลื่อนที่ไปมาของของไหลทำงานในแนวแกนของท่อสลับพิธีทางไปมา จึงเป็นสาเหตุให้บางครั้งการไหลเวียนหยุดชั่วขณะ

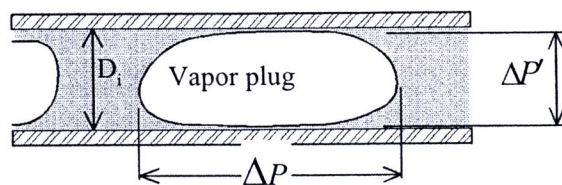
- ท่อความร้อนแบบสั้นวงรอบที่มีวาล์วกันกลับ (Closed-loop pulsating heat pipe with check valves) โดยมีการติดวาล์วกันกลับไว้ในท่อความร้อนแบบสั้นวงรอบตั้งแต่ 1 ตัวขึ้นไป เพื่อให้ของไหลทำงานนำความร้อนไหลเวียนไปในพิธีทางที่กำหนดได้อย่างง่ายดาย ดังรูปที่ 2.4 (ค) ซึ่งท่อความร้อนชนิดนี้มีค่าการส่งถ่ายความร้อนที่สูงที่สุด แต่เป็นภาระในการสร้างและติดตั้งวาล์วกลับกันขนาดเล็ก



รูปที่ 2.4 ประเภทของท่อความร้อน (ก) ท่อความร้อนแบบสั้นปลายปิด (ข) ท่อความร้อนแบบสั้นวงรอบ (ค) ท่อความร้อนแบบสั้นวงรอบที่มีวาล์วกันกลับ

การที่ท่อความร้อนแบบสั้นจะสามารถทำงานได้ดังที่กล่าวมาข้างต้นนั้น สารทำงานที่อยู่ภายในท่อความร้อนที่มีสภาพเป็นสุญญากาศต้องมีลักษณะเป็นแบบฟองไออกและก้อนของเหลวสลับกันตลอดช่วงท่อความร้อน อันเป็นผลเนื่องมาจากการแรงตึงผิวของสารทำงาน โดยมีเงื่อนไขในการเกิดลักษณะดังกล่าวคือ ความดันไออกตามแนวแกนของท่อต้องมากกว่าความดันไอกตามแนวขวาง (Maezawa *et al.*, 1995) ดังแสดงในรูปที่ 2.5 สำหรับสารทำงานที่ทราบค่าความหนาแน่นและแรงตึงผิว สามารถหาขนาดเส้นผ่านศูนย์กลางสูงสุดของท่อค่าปีลารีที่สามารถเกิดฟองไอกสลับกับก้อนของเหลวตลอดความยาวของท่อ ได้จาก

$$D_{i,\max} = 2 \sqrt{\frac{\sigma}{\rho_l g}}$$



รูปที่ 2.5 การเกิดฟองไอกสลับกับก้อนของเหลวในท่อค่าปีลารี (Maezawa *et al.*, 1995)

2.4.2 อัตราการถ่ายเทความร้อนของท่อความร้อนแบบสันวงรอบ

Charoensawan *et al.*, 2007 นำเสนอสมการสหสัมพันธ์ทำงานค่าการส่งถ่ายความร้อนของท่อความร้อนแบบสันวงรอบที่สภาวะการทำงานปกติไว้ดังนี้

$$q = \left(\frac{Q}{\pi D_i N 2 L_e} \right) \\ = 0.54(\exp(\beta))^{0.48} K a_{liq}^{0.47} P r_{liq}^{0.27} J a^{1.43} N^{-0.27}$$

เมื่อ $K a_{liq}$ คือ Karman number ของของไอลสถานะของเหลว สามารถหาได้จาก

$$K a_{liq} = \frac{\rho_{liq} (\Delta P)_{liq} D_i^2}{\mu_{liq}^2 L_{eff}}$$

$$\text{โดยที่ } L_{eff} = 0.5(L_e + L_c) + L_a$$

$P r_{liq}$ คือ Prandtl number ของของไอลสถานะของเหลว สามารถหาได้จากสมการ

$$P r_{liq} = \frac{C_{p,liq} \cdot \mu_{liq}}{k_{liq}}$$

$J a$ คือ Jakob number สามารถหาได้จากสมการ

$$J a = \frac{h_{fg}}{C_{p,liq} (\Delta T)_{sat}^{e-c}}$$

2.4.3 การประยุกต์ใช้งานของท่อความร้อนแบบสัน

จากการศึกษาและเปรียบเทียบระหว่างท่อความร้อนแบบสันทาง 3 ชนิด คือ แบบสันปลายปิด แบบสันวงรอบ และแบบสันวงรอบชนิดมีว่าวกันกลับ พบร่วมกันว่าการส่งถ่ายความร้อนของท่อความร้อนแบบสันวงรอบดีกว่าท่อความร้อนแบบสันปลายปิดที่สภาวะต่างๆ ขณะที่ท่อความร้อนแบบสันวงรอบชนิดมีว่าวกันกลับ มีข้อเสียคือ สร้างยาก และมีค่าใช้จ่ายสูง ดังนั้น จึงมีการนำท่อความร้อนแบบสันวงรอบไปประยุกต์ใช้งานต่างๆ ทางวิศวกรรม ดังจะอธิบายได้ดังนี้

Kammuang-lue *et al.* (2005) ศึกษาผลของชนิดสารทำงาน และอัตราการไอลที่มีต่อประสิทธิภาพทางความร้อนของท่อความร้อนแบบสันวงรอบ สำหรับระบบปรับอากาศ โดยอาศัยการสะสมพลังงานความร้อนในรูปน้ำแข็ง ชุดทดลองแบ่งออกเป็นสองส่วนหลัก ได้แก่ ถังเก็บน้ำแข็งซึ่งอยู่ด้านบน มีขนาดความจุภายในเท่ากับ $0.39 \times 0.56 \times 0.38 \text{ m}^3$ ซึ่งนำมาจากสังกะสีสองชั้น โดยมีจำนวนโฟมคั่นตรงกลาง และอิกล้วนคือส่วนแยกเปลี่ยนความร้อนซึ่งอยู่ด้านล่าง ใช้วัสดุแบบเดียวกับถังเก็บน้ำแข็งและมีขนาดความจุภายในเท่ากับ $0.35 \times 0.52 \times 0.12 \text{ m}^3$ ทึ้งสองส่วนแยกออกจากกันด้วยฐานสังกะสีที่ใช้เป็นตัวยึดท่อความร้อนให้อยู่ในแนวเดิงตลอดเวลา ซึ่งท่อความร้อน

ที่ใช้เป็นแบบสั่นง่วงอบที่ทำจากห่อค่าปีลารีทองแดง มีขนาดเส้นผ่านศูนย์กลางภายใน 1.78 มม. มีความยาวส่วนทำระเหย ส่วนควบแน่นและส่วนกันความร้อน เท่ากัน 100 – 220 และ 30 มม. ตามลำดับ สารทำงานที่ใช้ได้แก่ R-134a และ MP39 ในกราฟด่องเริ่มจากบรรจุน้ำแข็งจนเต็มถังเก็บ จากนั้นทำการบีบอัดที่ความคุณอุณหภูมิไว้ที่ 30 °C ผ่านส่วนแยกเปลี่ยนความร้อน บันทึกอุณหภูมิและอัตราการไหลเชิงมวล เพื่อนำไปคำนวณหาค่าอัตราการถ่ายเทความร้อนและค่าประสิทธิผลทางความร้อนต่อไป จากการทดลองพบว่าเมื่อเปลี่ยนสารทำงานจาก R-134a ไปเป็น MP39 หรือเปลี่ยนค่าความร้อนแห่งของการถ่ายเทเป็น 181 kJ/kg ไปเป็น 190 kJ/kg พบว่าค่าประสิทธิผลทางความร้อนลดลง นอกจากนี้ยังพบว่าเมื่อเพิ่มอัตราการไหลของของไหลที่แยกเปลี่ยนความร้อน หรือเพิ่มค่า Re จะทำให้ค่าประสิทธิผลทางความร้อนลดลง

Meena *et al.* (2006) ศึกษาการนำชุดท่อความร้อนแบบสั่นง่วงอบชนิดมีวาว้าล์ว กันกลับ เพื่อดึงความร้อนสำหรับลดความชื้นสัมพัทธ์ ชุดแยกเปลี่ยนความร้อนประกอบด้วย ห่อทองแดง ขนาดเส้นผ่านศูนย์กลางภายใน 0.002 มม. ยาว 3.58 เมตร ส่วนทำระเหย และส่วนควบแน่น มีขนาดเท่ากัน คือ 0.19 เมตร ส่วนกันความร้อน 0.08 เมตร ความเร็วของอากาศร้อน 0.5 – 0.75 และ 1 m/s ตามลำดับ อุณหภูมิของอากาศร้อน 50 – 60 และ 70 °C ตามลำดับ ความชื้นสัมพัทธ์ 100% ใช้สารทำงาน R-134a ที่อัตราส่วนการเติม 50 % พบร่วมกับอัตราการถ่ายเทความร้อนเพิ่มขึ้นเล็กน้อย เมื่ออุณหภูมิอากาศเพิ่มจาก 50 เป็น 70 °C และความเร็วอากาศเพิ่มขึ้นจาก 0.5 – 0.75 และ 1 m/s ทำให้อัตราการส่งถ่ายความร้อนและประสิทธิผลเพิ่มขึ้นเล็กน้อย อุณหภูมิของอากาศร้อนที่เพิ่มขึ้นจาก 50 เป็น 70 °C ทำให้ประสิทธิผลเพิ่มขึ้นเล็กน้อย และช่วงของความชื้นสัมพัทธ์ลดลงจากช่วง 89-100% เป็น 54-72% จึงสรุปได้ว่า การติดตั้งเครื่องแยกเปลี่ยนความร้อนแบบสั่นง่วงอบชนิดมีวาว้าล์ว กันกลับ จะช่วยลดความชื้นสัมพัทธ์ในระบบ

2.5 เศรษฐศาสตร์ของระบบพลังงานรังสีอาทิตย์

การเลือกระบบพลังงานรังสีอาทิตย์มาใช้งานนั้น นอกจากระดับความสามารถของระบบแล้ว ถึงที่สำคัญอีกอย่างคือ การวิเคราะห์ทางเศรษฐศาสตร์ ถึงแม้ว่าระบบพลังงานรังสีอาทิตย์จะมีสมรรถนะสูงเพียงใดก็ตาม แต่ถ้าการลงทุนสูงกว่าไม่เหมาะสมที่จะนำมาใช้งาน การตัดสินใจว่าจะเลือกระบบพลังงานรังสีอาทิตย์แบบไหน จะขึ้นอยู่กับค่าใช้จ่ายและต้นทุนพลังงานความร้อน – ไฟฟ้าที่ผลิตได้

2.5.1 ค่าใช้จ่ายค้านพลังงาน

$$C_s = \frac{C_0}{Q \times T \times \eta_c}$$

เมื่อ C_s คือ ค่าใช้จ่ายค้านพลังงาน

C_0 คือ ค่าใช้จ่ายเริ่มต้น

T คือ อายุการใช้งานของระบบ

Q คือ พลังงานรังสีอาทิตย์โดยเฉลี่ยตลอดปีที่ได้รับ

η_c คือ ประสิทธิภาพของตัวเก็บรังสีอาทิตย์

2.5.2 วิธีวิเคราะห์หาต้นทุนรายปี (Annual Cost Method)

วิธีการหาเงินค่าใช้จ่าย หรือ เงินลงทุนเทียบเท่ารายปีของระบบ โดยเปลี่ยนค่าใช้จ่ายต่างๆ เช่น เงินลงทุนเริ่มต้น ค่าดำเนินงาน ค่าบำรุงรักษา และค่าเสื่อมราคาให้มาอยู่ในรูปค่าใช้จ่ายรายปี ถ้าระบบไม่มีค่าใช้จ่ายรายปีต่ำกว่า แสดงว่าระบบนั้นนำลงทุนมากกว่า กำหนดดังนี้

$$AC = (P1 + P2)(CRF) + OM - S(SFF)$$

$$\text{เมื่อ } CRF = [i(1+i)^n] / [(1+i)^n - 1]$$

$$SFF = i / [(1+i)^n - 1]$$

AC คือ ค่าใช้จ่ายสุทธิตลอดปีของระบบเฉลี่ยแสงอาทิตย์ (Baht/year)

$P1$ คือ ราคาอุปกรณ์อื่น ๆ (Baht)

$P2$ คือ ค่าใช้จ่ายในการติดตั้งระบบ (Baht)

OM คือ ค่าดำเนินงานและบำรุงรักษารายปี (Baht/year)

S คือ มูลค่าซากของระบบ (Baht)

i คือ อัตราดอกเบี้ยต่อปี

n คือ อายุการใช้งานของระบบเฉลี่ยแสงอาทิตย์ (year)

CRF คือ Capital recovery factor

SFF คือ Sinking fund factor

2.5.3 อัตราผลตอบแทนการคืนทุน (Internal Rate of Return, IRR)

อัตราผลตอบแทนในการลงทุน หรือ อัตราส่วนลด ที่ทำให้มูลค่าเงินปัจจุบันสูงสุดในการลงทุน (Net Present Value, NPV) เท่ากับศูนย์หรือเข้าใกล้ศูนย์ วิธีนี้มีการนำเอาอัตราดอกเบี้ยมาร่วมคำนวณด้วย ทำให้สามารถวิเคราะห์ได้ถูกต้องมากขึ้น วิธีการหาอัตราผลตอบแทนในการลงทุนเป็นการหาโดยใช้วิธีลองผิดลองถูก (Trial and Error)

$$NPV = \sum_{n=1}^N \frac{NCF_n}{(1+i)^n} - TIC = 0$$

เมื่อ NCF_n คือ กระแสเงินสดสุทธิของปีที่ n (Baht)

i คือ อัตราผลตอบแทนในการลงทุน

n คือ อายุการใช้งานของระบบพัลส์งานรังสีอาทิตย์ (year)

TIC คือ มูลค่าปัจจุบันของเงินลงทุนทั้งหมด (Baht)



2.5.4 ระยะเวลาคืนทุน (Simple Payback period, SPP)

ระยะเวลาคืนทุน คือระยะเวลาที่ผลตอบแทนสุทธิสะสมจากการดำเนินงานมีค่าเท่ากับค่าเงินลงทุน ผลที่ได้รับจากการประเมินการลงทุนโดยวิธีนี้จะทำให้ทราบว่า จะได้รับเงินคืนทุนช้าหรือเร็วเท่าใด ถ้าคืนทุนได้เร็วเท่าไก่จะดีมากขึ้นเท่านั้น เพราะโอกาสเสี่ยงต่อการขาดทุนในอนาคตมีน้อยลง วิธีระยะคืนทุนเบื้องต้นเป็นวิธีคิดแบบง่าย และเป็นที่นิยมใช้แต่เมื่อข้อเสียคือไม่ได้พิจารณาถึงผลตอบแทนที่ได้รับหลังระยะคืนทุนแล้ว และไม่พิจารณาการปรับมูลค่าเงินตามเวลาในกรณีผลตอบแทน และค่าใช้จ่ายในแต่ละปีมีค่าเท่ากันทุกประยะเวลาคืนทุนหากดังนี้

$$SPP = \frac{\text{First Cost}}{\text{Cost Saving}}$$